#### Caracterización de Filtros

Respuesta al Impulso

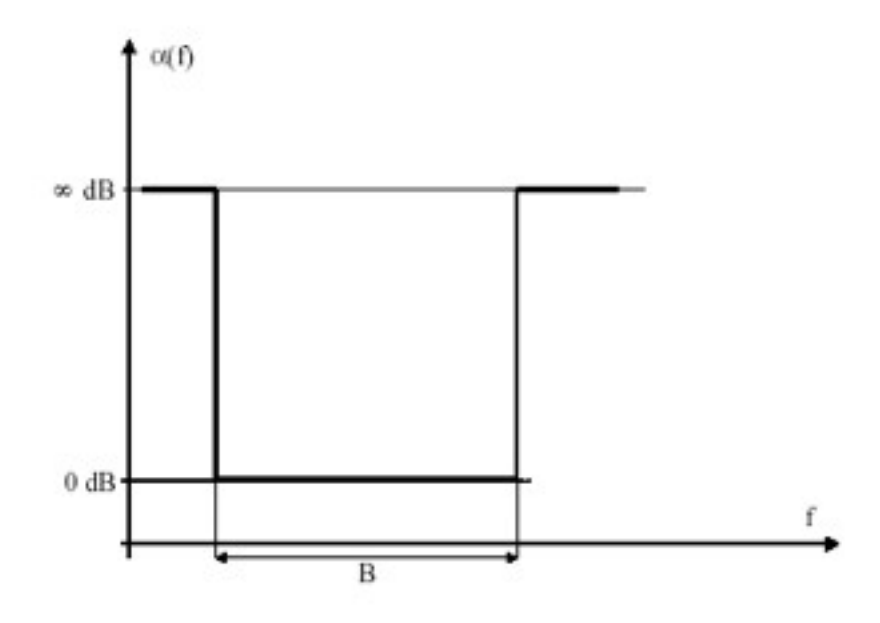
Función de Transferencia

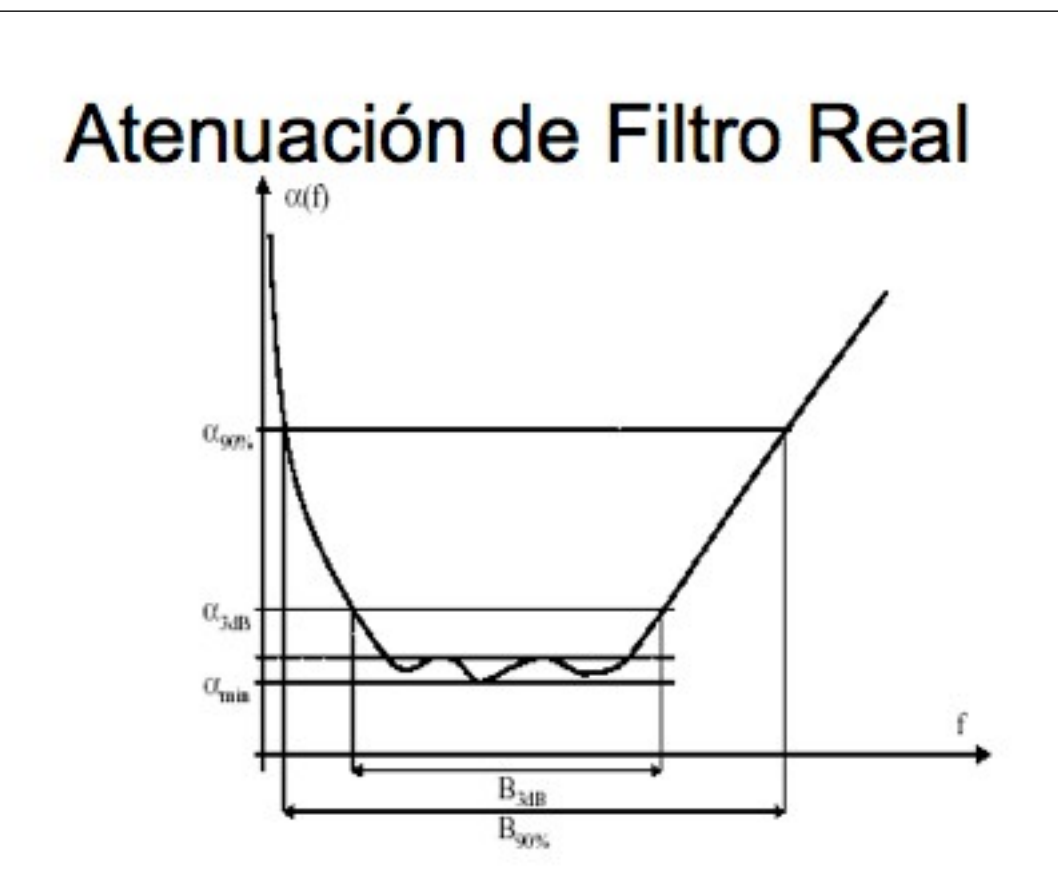
H(f)

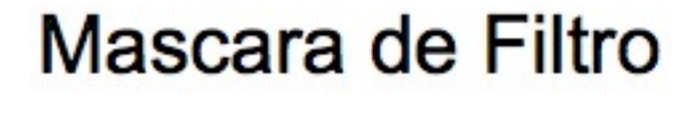
Respuesta en amplitud o atenuación

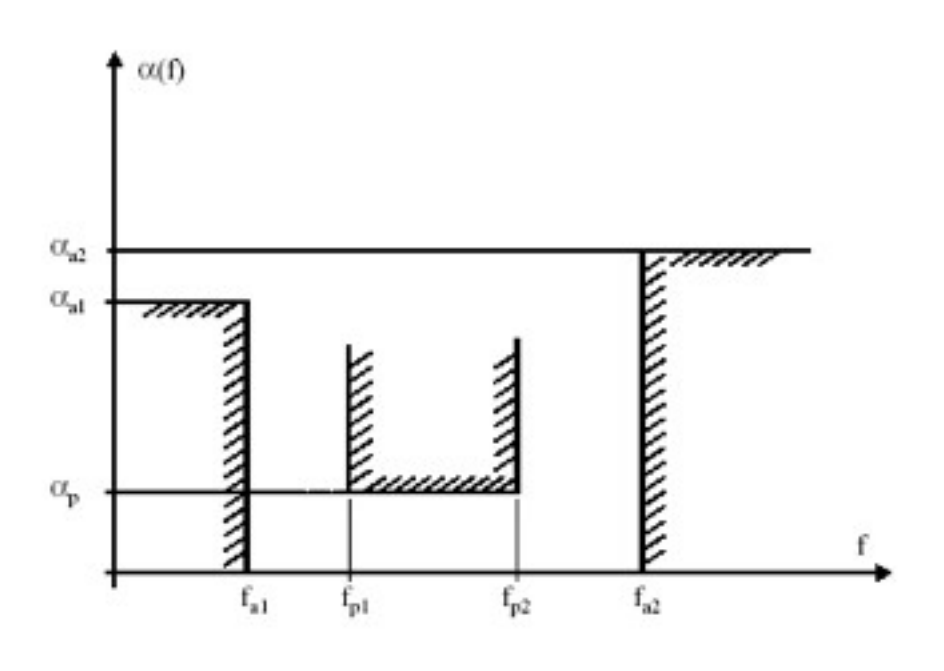
$$A(f) = |H(f)| \quad \alpha(f) = -20log(|H(f)|)$$

#### Atenuación de Filtro Ideal

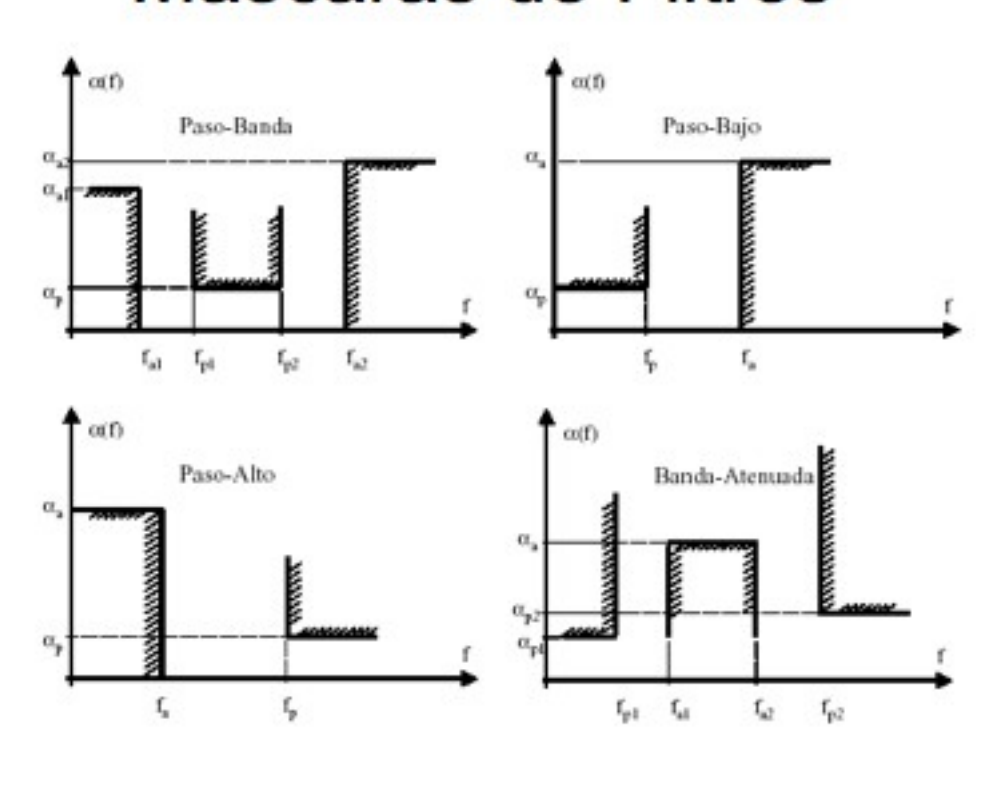








#### Mascaras de Filtros



#### Fase de un Filtro

$$\angle H(f) = atan \frac{\Im(H(f))}{\Re(H(f))}$$

Retardo de Fase

Retardo de Grupo

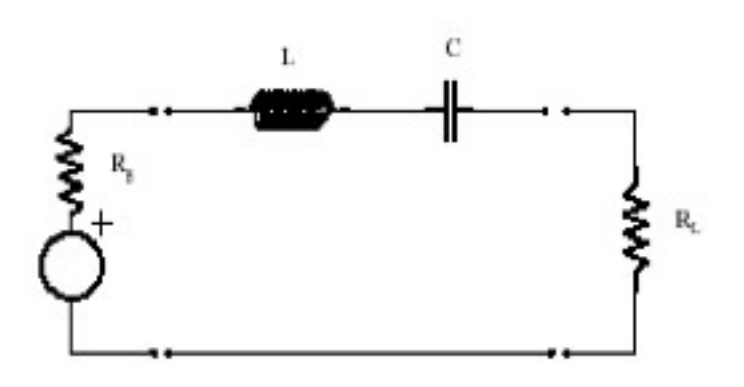
$$-\frac{1}{2\pi} \frac{\angle H(f)}{f} \qquad -\frac{1}{2\pi} \frac{\partial \angle H(f)}{\partial f}$$

#### Factor de Calidad

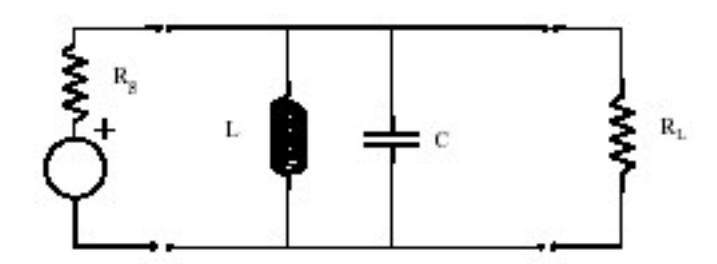
 Relacionado con la pérdida de energía de un circuito RLC

$$Q = \frac{f_0}{BW}$$

# Filtro RLC Serie



# Filtro RLC Paralelo



# Aproximación final

$$H(\omega) = H(\omega_0) rac{1}{1+j2Qrac{\Delta\omega}{\omega_0}} 
onumber$$
 $H(f) = H(f_0) rac{1}{1+j2Qrac{\Delta f}{f_0}}$ 

# Ancho de Banda en la Aprox:

 Para el cálculo de ancho de banda 3dB, la energía cae a la mitad:

$$|H(f_c)|^2 = \frac{1}{2}|H(f_0)|^2$$

$$H(f) = H(f_0)\frac{1}{1+j2Q\frac{\Delta f}{f_0}}$$

$$|H(f)|^2 = |H(f_0)|^2 \left|\frac{1}{1+j2Q\frac{\Delta f}{f_0}}\right|^2$$

$$egin{array}{lcl} & rac{1}{2} |H(f_0)|^2 & = & |H(f_0)|^2 \left| rac{1}{1+j2Qrac{\Delta f_c}{f_0}} 
ight|^2 \ & rac{1}{2} & = & \left| rac{1}{1+j2Qrac{\Delta f_c}{f_0}} 
ight|^2 \ & rac{1}{2} & = & rac{1}{1+\left(2Qrac{\Delta f_c}{f_0}
ight)^2} \ & 1 & = & 2Qrac{\Delta f_c}{f_0} \end{array}$$

$$1 = \left| 2Q \frac{\Delta f_c}{f_0} \right|$$

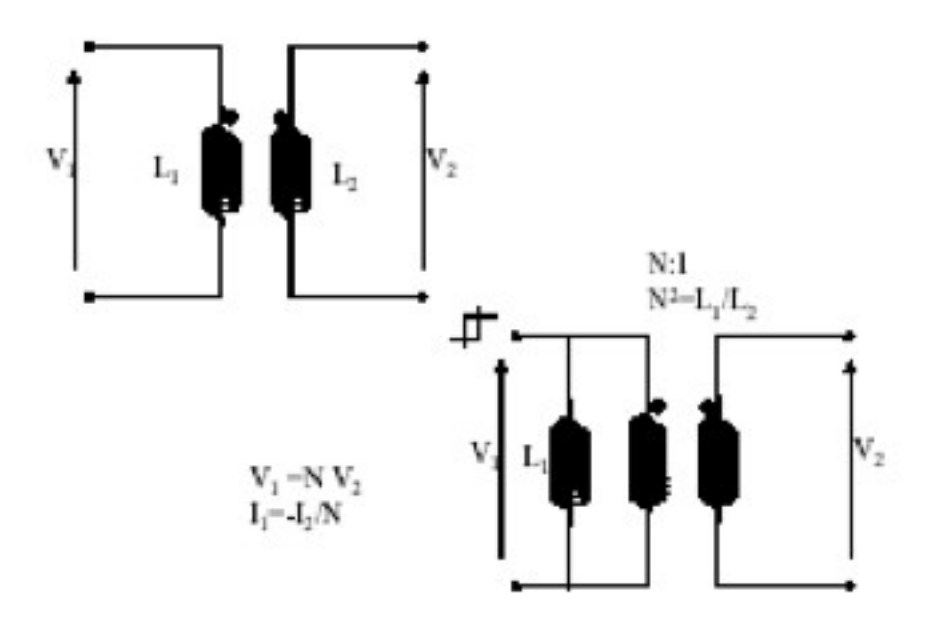
$$\Delta f_c = \frac{1}{2} \frac{f_0}{Q}$$

$$\Delta f_c = \frac{1}{2} BW$$

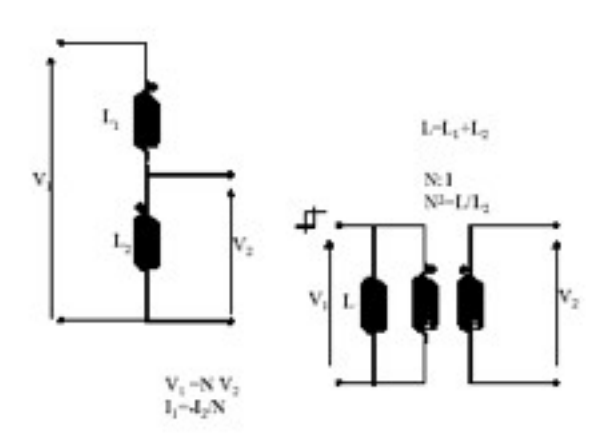
$$\begin{array}{rcl} -\frac{1}{2\pi}\frac{\partial \angle H(f)}{\partial f} \\ \\ \angle H(f) & = & atan\frac{\Im(H(f))}{\Re(H(f))} \\ \\ \Im(H(f)) & = & 2Q\frac{\Delta f}{f_0} \\ \\ \Re(H(f)) & = & 1 \\ \\ \angle H(f) & = & atan\left(2Q\frac{\Delta f}{f_0}\right) \\ \\ \left|2Q\frac{\Delta f}{f_0}\right| & \leq & 1 \\ \\ atan\left(2Q\frac{\Delta f}{f_0}\right) & \simeq & 2Q\frac{\Delta f}{f_0} \end{array}$$

15

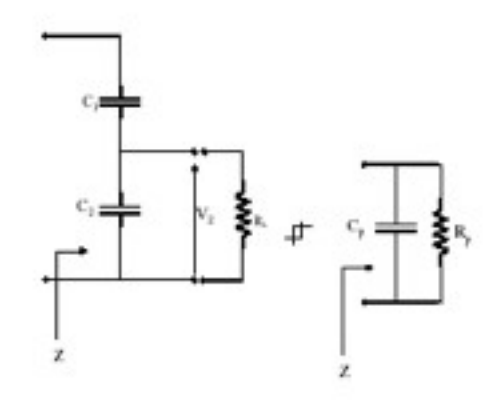
#### **Transformadores**



#### **Autotransformadores**



# **Transformadores Capacitivos**



$$egin{array}{lcl} R_p & = & R_L \left( rac{C_1 + C_2}{C_1} 
ight)^2 \\ C_p & = & rac{C_1 C_2}{C_1 + C_2} \end{array}$$

## Filtros Complejos Butterworth

$$|H(j\omega)| = \left(\frac{1}{1+\left(\frac{\omega}{\omega_c}\right)^{2n}}\right)^{\frac{1}{2}}$$

- Máximamente planos
- Velocidad de atenuacion n20dB/decada
- Problemas de retardo de grupo cerca a frecuencia de corte

19

# Filtros Chebyshev

$$|H(j\omega)| = \left(rac{1}{1+\epsilon^2 cos^2 \left(n \cos\left(rac{\omega}{\omega_c}
ight)
ight)}
ight)^{rac{1}{2}}$$

- Filtros con rizado en la banda de paso
- Velocidad de atenuación superior a n 20dB/ decada
- Problemas de retardo de grupo a frecuencias de corte

# Filtros Bessel o Thompson

$$|H(j\omega)| = \left(\frac{1}{P_B^n(j\omega)}\right)^{\frac{1}{2}}$$

- Filtros planos en banda de paso y sin con retardo de grupo constante
- Velocidad de atenuación inferior a n 20dB por decada

21

# Filtros Elípticos o Cauer

$$|H(j\omega)| = \left(\frac{P_C^{n-1}(j\omega)}{P_P^n(j\omega)}\right)^{\frac{1}{2}}$$

- Filtros de alta velocidad de caida
- Problemas de retardo de grupo y rizado
- Efectos secundarios en banda de transición

### Tecnologías de Filtros Filtros Pasivos

- Filtros LC
  - Factor calidad Q<100</li>
  - Gran Tamaño
  - Muy bajo coste
  - Pérdidas por Inserción ~1dB
  - Atenuación en banda atenuada en orden de 100dB
  - Estabilidad con la temperatura y envejecimiento 0.1%

23

### Tecnologías de Filtros Filtros Pasivos

- · Filtros con base en resonadores
  - En frecuencias medias se utilizan inductancias resonantes (UHF 100Mhz~1Ghz)
  - A altas frecuencias, Cavidades Resonantes
  - Factor de calidad Q<1000
  - Gran tamaño y dependiente de la frecuencia de trabajo
  - Muy bajo coste
  - Pérdidas por inserción: ~1dB
  - Atenuación ~100dB
  - Buen margen dinámico
  - Estabilidad con la temperatura y envejecimiento 0.1

### Tecnologías de Filtros Filtros Pasivos

- Filtros de líneas de micro-strip
  - Utilizables solamente en alta frecuencia f>3Ghz
  - Factor de calidad dependiente del tamaño y calidad del dieléctrico Q<100</li>
  - Muy bajo coste
  - Repetibilidad
  - Pérdidas por inserción ~1dB
  - Atenuación ~100dB
  - Alto margen dinámico

25

### Tecnologías de Filtros Filtros Pasivos

- Filtros de Cristal de Cuarzo
  - Realizados con materiales piezo-eléctricos
  - Utilizables desde la frecuencia de 5KHz hasta 100Mhz
  - Factor de Calidad 10<sup>4</sup>
  - Curvas de atenuación con frecuencia prefijadas
  - Pérdidas por inserción 1~10 dB
  - Atenuación superior a 100dB
  - Bajo margen dinámico
  - Estabilidad con la temperatura y envejecimiento 5ppm

26

### Tecnologías de Filtros Filtros Pasivos

- Filtros Cerámicos
  - Similares a los cristales pero con peor calidad
  - Utilizables desde 100 Khz hasta 700 Khz
  - Factor de calidad ~100

27

### Tecnologías de Filtros Filtros Activos

- Basados en resitencias, condensadores y amplificadores operacionales
- Utilizables desd DC hasta 100Khz
- Factor de calidad ~100
- Bajo márgen dinámico
- Fácilmente integrables
- Aplicaciones de audio

# Adaptación de Impedancias

Coeficiente de Reflexión

$$\Gamma = \frac{Z_i - Z_o}{Z_i + Z_o}$$

Relación de Onda Estacionaria

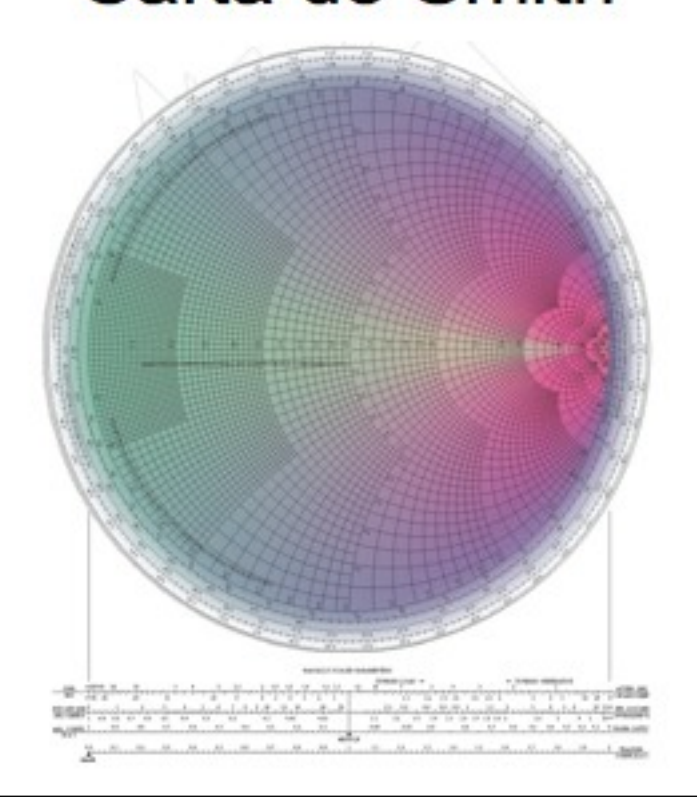
$$ROE = \frac{1+|\Gamma|}{1-|\Gamma|}$$

29

# Potencias Entregadas y Reflejadas

$$P_{entregada} = P_{disponible}(1 - |\Gamma|^2)$$
  
 $P_{reflejada} = P_{disponible}(|\Gamma|)^2$ 

### Adaptación de Impedancias Carta de Smith



31

### Adaptación de Impedancias Conversión Paralelo->Serie

$$R_s = \frac{R_p X_p^2}{R_p^2 + X_p^2}$$
 $X_s = \frac{X_p R_p^2}{R_p^2 + X_p^2}$ 

## Adaptación de Impedancias Conversión Serie->Paralelo

$$R_p = rac{R_s^2 + X_s^2}{R_s}$$
 $X_p = rac{R_s^2 + X_s^2}{X_s}$ 

33